

Nowoczesne technologie materiałowe stosowane w przemyśle lotniczym

Modern material technologies in aerospace industry

Materiały kompozytowe o zwiększonej wytrzymałości i odporności termicznej z wykorzystaniem żywic polimerowych do zastosowań w lotnictwie

Composite materials of increased strength and thermal resistance with the use of polymeric resins applied in aviation

Politechnika Rzeszowska, Politechnika Lubelska, Politechnika Warszawska

Wyniki badań Results

Wprowadzenie Introduction

Główym celem prac realizowanych w ostatnim półroczu są badania nad syntezą i właściwościami hybrydowych nieorganiczno-organicznych napełniaczy będących solami cynku z ligandami diorganofosforanowymi. Oprócz tego kontynuowano prace mające na celu optymalizację zarówno składu jak i właściwości kompozytów epoksydowych na bazie dostępnej w handlu żywicy epoksydowej EPIDIAN 601 oraz organicznie modyfikowanych fosforanu i/lub wodorotlenku glinu.

Obiektykiem naszych badań są:

- układ zawierające tris(difenylfosforan) glinu stosowany jako składnik homogenicznego układu styciąjącego oraz organicznie modyfikowany wodorotlenek glinu funkcjonujący jako napełniacz;
- bis(diorganofosforany) cynku o wzorze ogólnym $Zn[O_2P(OR)]_2$, gdzie $R = -CH_3, -CH_2CH_3, -(CH_2)_2CH(CH_2CH_3)(CH_2)_2CH_3, -C_6H_5$;

The main aim of work carried out in the last six months have been studies on the synthesis and properties of inorganic-organic hydride fillers that were zinc salts containing diorganophosphate ligands. In addition we have continued the studies aimed at optimization of the composition and properties of epoxy composites based on commercially available epoxide resins EPIDIAN 601 and organically modified zinc phosphate and/or hydroxide.

The subjects of our studies are:

- systems containing aluminum tris(diphenylphosphate) applied as a constituent of homogeneous curing system and organically modified aluminum hydroxide used as a filler;
- zinc bis(diorganophosphate)s with general formula $Zn[O_2P(OR)]_2$, where $R = -CH_3, -CH_2CH_3, -(CH_2)_2CH(CH_2CH_3)(CH_2)_2CH_3, -C_6H_5$;

Stosowane skróty Abbreviations

DBP - fosforan di-n-butylu

DXPNa - sól sodowa fosforanu bis: n-butylu ($X = B$) lub 2-etylheksylu ($X = EH$)

TPP - fosforan trifenylu

DPPA - tris(difenylfosforan) glinu

g/TPP - gibbsy fizyczny kopolimerowany fosforanem trifenylnym (stosunek wagowy 1:1)

$Zn(OAc)_2 \cdot 2H_2O$ - dihydrat octanu cynku

ZnDXP - bis(diorganofosforan) cynku: $X = M$ (metyl), E (etyl), B (n-butyl), EH (2-etylheksyl), P (fenyl)

CIS - udarność Charpy'ego

UTS - wytrzymałość na rozciąganie

ε_{max} - wydłużenie przy zerwaniu

LOI - indeks tlenowy

DBP - dibutyl phosphate

DXPNa - sodium bis: n-butylphosphate ($X = B$) or (2-ethylhexyl)phosphate ($X = EH$)

TPP - triphenyl phosphate

DPPA - aluminium tris(diphenylphosphate)

g/TPP - gibbsy physically modified with triphenyl phosphate (1:1 weight ratio)

$Zn(OAc)_2 \cdot 2H_2O$ - zinc acetate dihydrate

ZnDXP - zinc bis(diorganophosphate): $X = M$ (metyl), E (etyl), B (n-butyl), EH (2-etylhexyl), P (fenyl)

CIS - Charpy impact strength

UTS - ultimate tensile strength

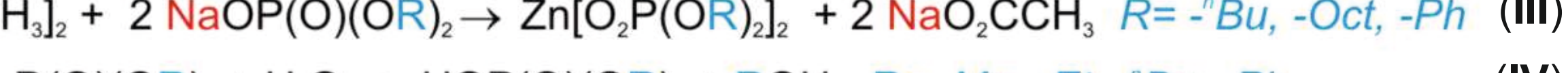
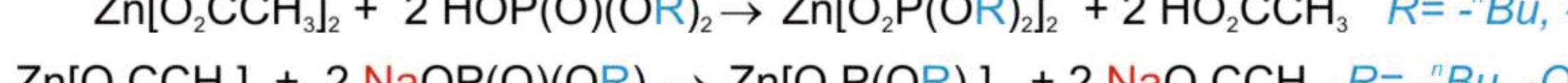
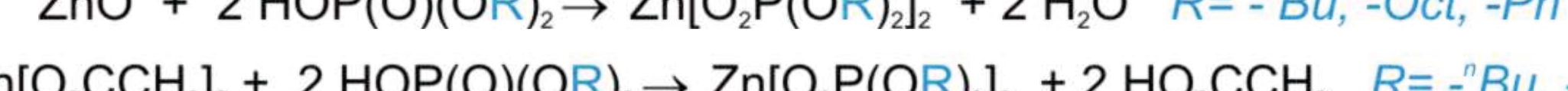
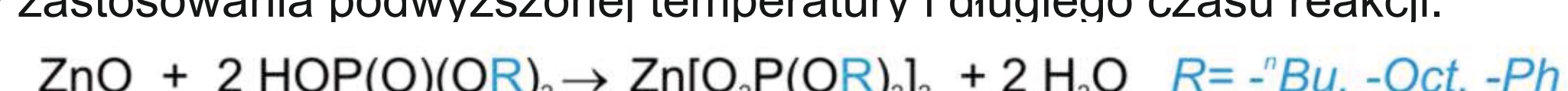
ε_{max} - elongation at break

LOI - limiting oxygen index

Synteza i właściwości bis(diorganofosforanów) cynku Synthesis and properties of zinc bis(diorganophosphate)

(A) Optymalizacja syntezy czystego ZnDPP (A) Optimization of pure ZnDPP synthesis

Przetestowano kilka wariantów prowadzenia syntezy, w której substratami były $Zn(OAc)_2 \cdot 2H_2O$ lub ZnO oraz diestry kwasu fosforowego(V) stosowane: w czystej postaci (I, II), jako rozpuszczalne w wodzie z kationem sodowym (III) lub powstającego *in situ* w wyniku hydrolyzy odpowiednich triestrów (IV). Większość procesów opisanych równaniami I-III przebiegała w temperaturze pokojowej, natomiast syntezy wykorzystujące hydrolikę TPP wymagały zastosowania podwyższonej temperatury i dłuższego czasu reakcji.



W tabeli 1 przedstawiono parametry przeprowadzonych reakcji syntezy ZnDOP oraz uzyskane wydajności procesów. Produkty zbadano metodami: spektroskopii FTIR (Rys. 1), termogramiometry (Rys. 2-3), analizy XRD (Rys. 4) i rentgenostrukturalnej (Rys. 5) oraz mikroskopii SEM (Rys. 6).

Tabela 1. Parametry i wydajności syntezy ZnDOP.
Table 1. Parameters and yields of ZnDOP synthesis.

Lp.	Metoda syntezy	Substrat fosforowy	Rozpuszczalnik	Temp. /°C	Czas reakcji /h	Wydajność ZnDOP /%
1	(I)	DBP	Ksylen	150	24	68
2	(II)	DBP	Woda	25/60*	0,5/1*	67
3	(III)	DBPNa	Woda	25/60*	0,5/1*	66
4	(III)	DEHPNa	Woda	25/60*	0,5/1*	97
5	(IV)*	TMP	Woda	T_{wz}	24	95
6	(IV)*	TEP	Woda	T_{wz}	63	57
7	(IV)*	TBP	Woda	150	72	34
8	(IV)*	TPP	Woda	130	24	57

*syntez prowadzona w 2 etapach; *reakcja z ZnO ; *reakcja z $Zn(OAc)_2 \cdot 2H_2O$;

two-step synthesis; *reakcja z ZnO ; reaction with $Zn(OAc)_2 \cdot 2H_2O$;

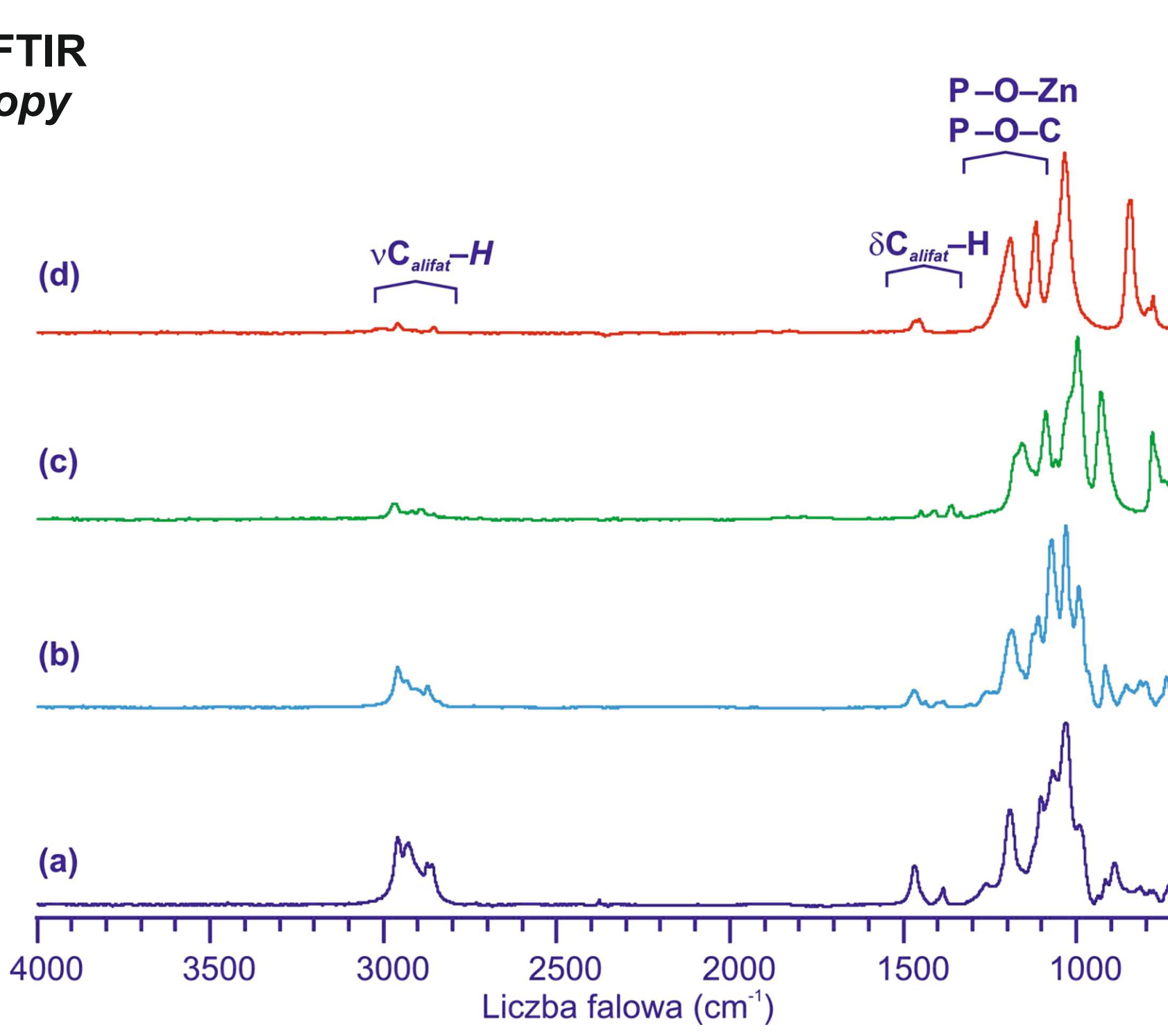
(B) Właściwości fizykochemiczne bis(diorganofosforanów) cynku (ZnDOP) (B) Physicochemical properties of zinc bis(diorganophosphate)s (ZnDOP)

W tabeli 2 przedstawiono dane dotyczące rozpuszczalności ZnDOP w wybranych rozpuszczalnikach organicznych.

Tabela 2. Dane dotyczące rozpuszczalności ZnDOP w wybranych rozpuszczalnikach organicznych
Table 2. Data on ZnDOP solubility in selected solvents

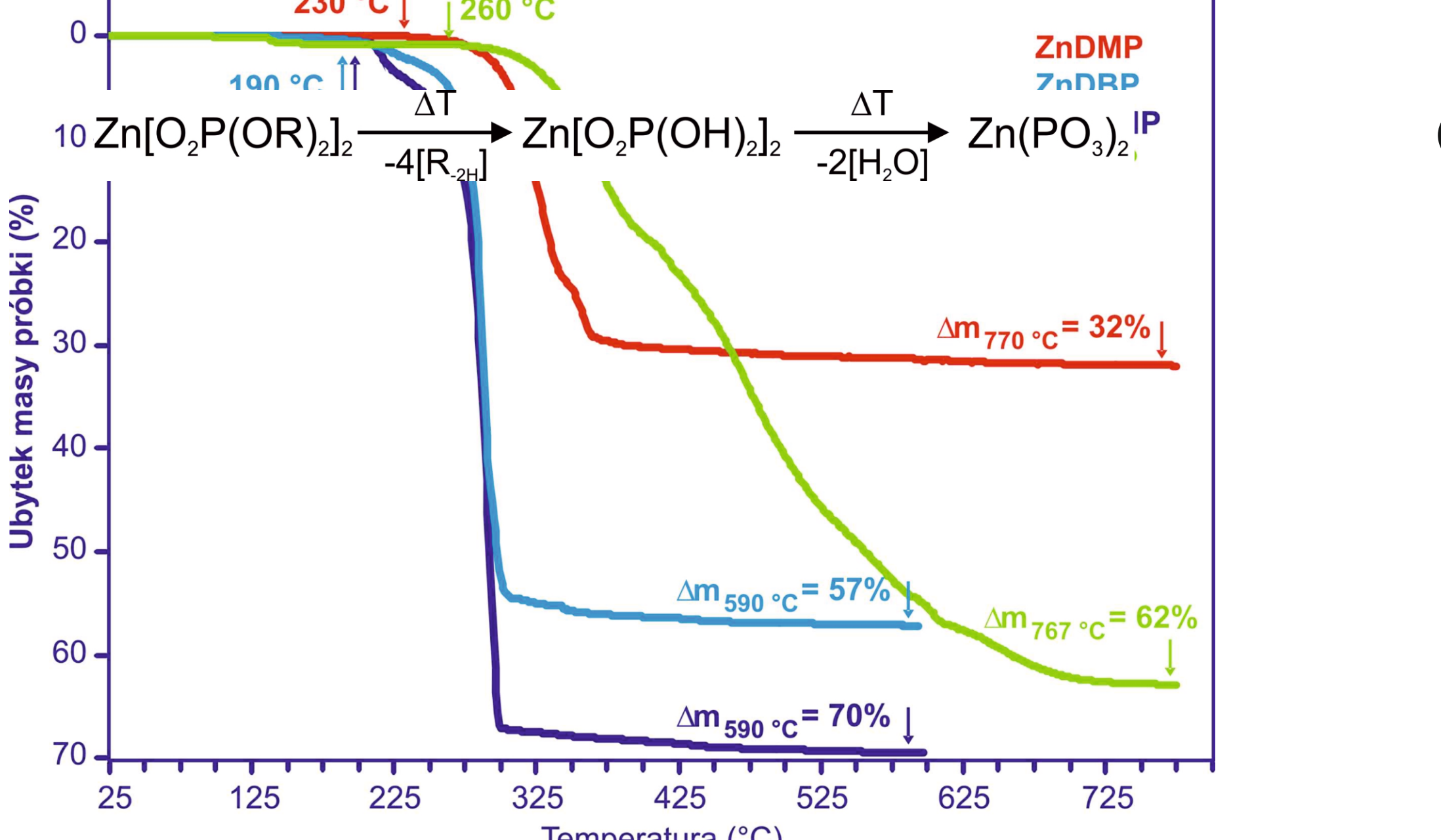
Lp.	Związek	Rozpuszczalnik
1	ZnDMP	woda, chloroform, metanol, sulfonat dimetylu
2	ZnDPB	woda, chloroform, metanol, sulfonat dimetylu
3	ZnDPP	chloroform, metanol, sulfonat dimetylu, toluen, benzen
4	ZnDEHP	chloroform, sulfonat dimetylu, toluen, benzen
5	ZnDPP	chloroform, metanol, sulfonat dimetylu

Spektroskopia FTIR FTIR spectroscopy



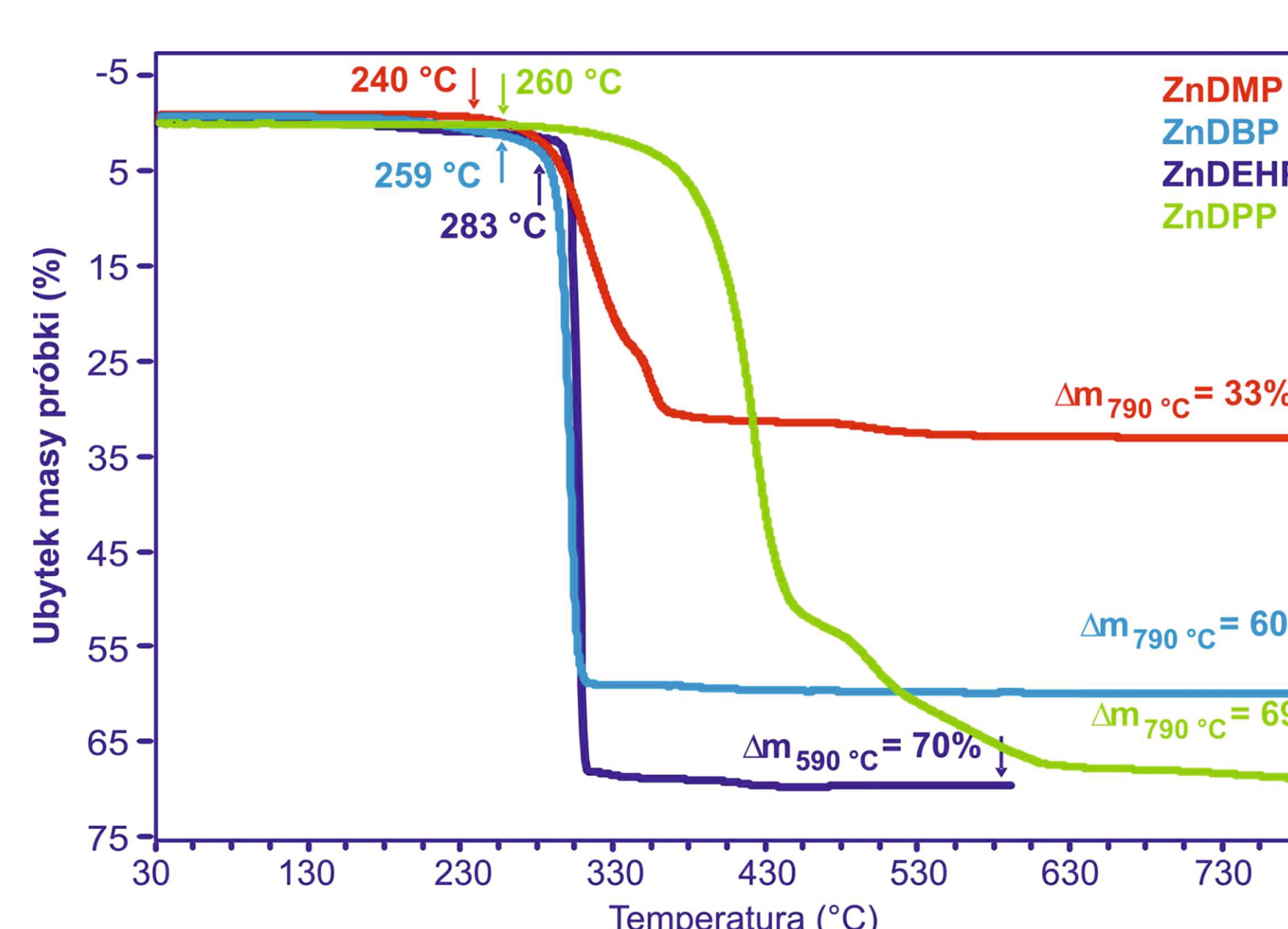
Rys. 1. Widma FTIR ZnDOP: (a) ZnDEHP, (b) ZnDPB, (c) ZnDPP oraz (d) ZnDMP

Właściwości termiczne ZnDOP Thermal properties of ZnDOP



Rys. 2. Termogramy TGA ZnDOP: (a) ZnDEHP, (b) ZnDPB, lub (c) ZnDPP oraz d) ZnDMP. Pomiar w obecności powietrza. Na rysunku przedstawiono temperatury początku pirolyz i maksymalne zmiany masy próbki.

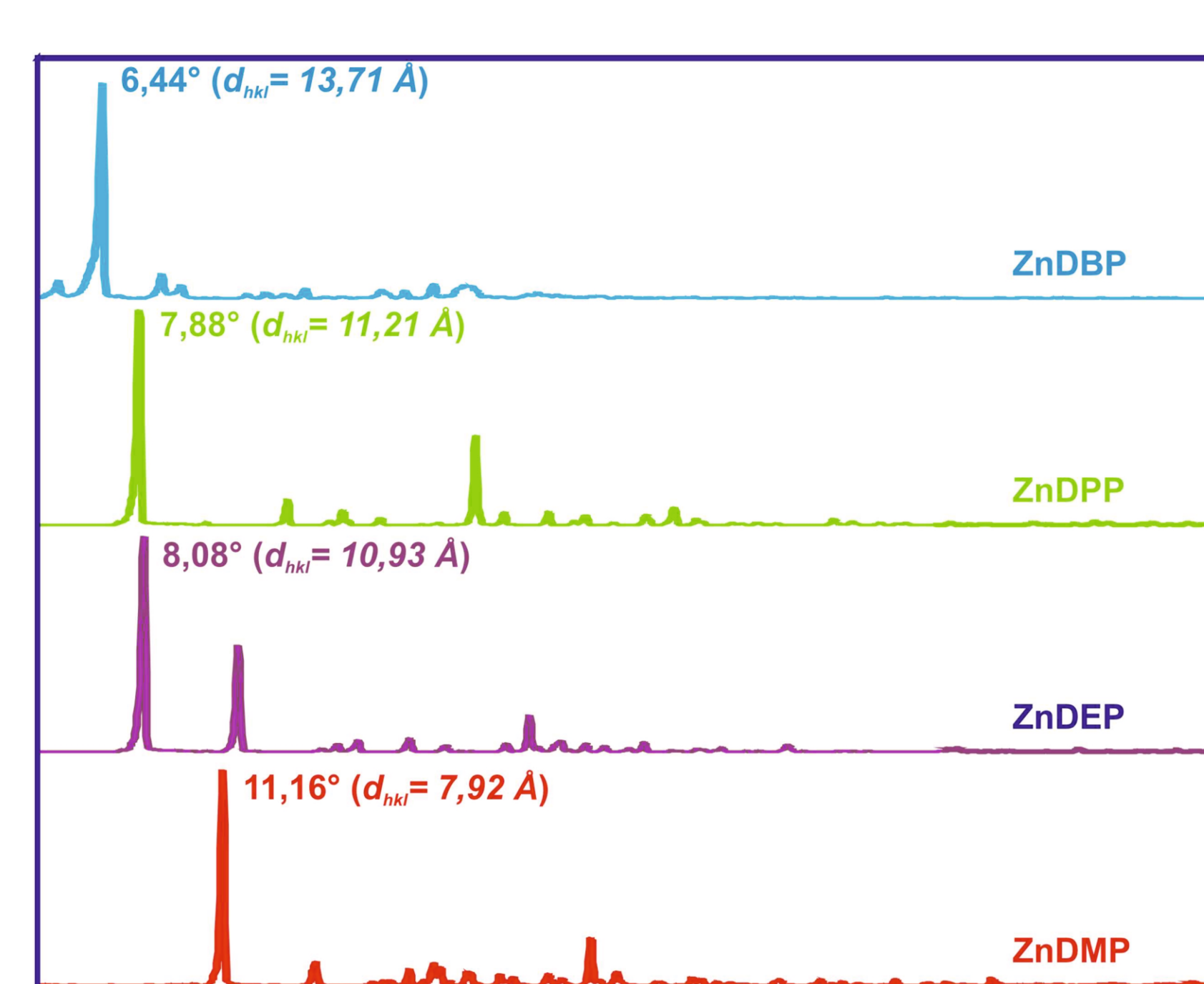
Fig.2. TGA thermograms of ZnDOP: (a) ZnDEHP, (b) ZnDPB, (c) ZnDPP and d) ZnDMP. Measurements in air. Thermolysis onset temperatures and maximum changes of sample weight are presented.



Rys. 3. Termogramy TGA ZnDOP: (a) ZnDEHP, (b) ZnDPB, (c) ZnDPP oraz d) ZnDMP. Pomiar w obecności gazu obojętnego. Na rysunku przedstawiono temperatury początku pirolyz i maksymalne zmiany masy próbki.

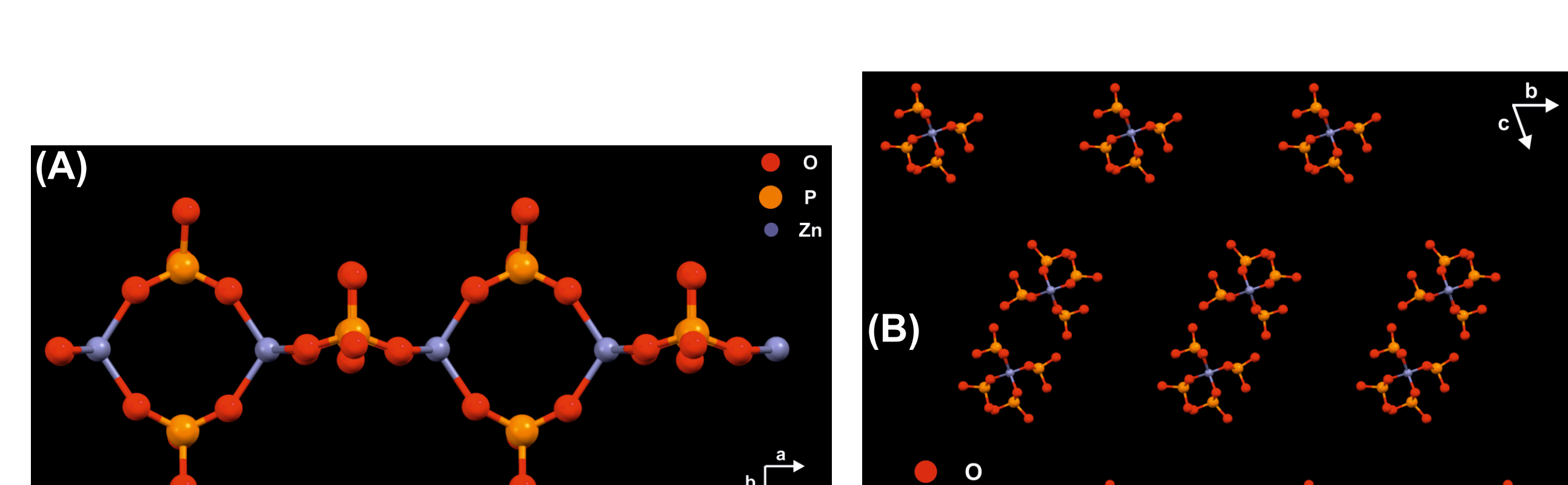
Fig.3. TGA thermograms of ZnDOP: (a) ZnDEHP, (b) ZnDPB, (c) ZnDPP and d) ZnDMP. Measurements in inert gas. Thermolysis onset temperatures and maximum changes of sample weight are presented.

Struktura ZnDOP Structure of ZnDOP



Rys.4. Dyfraktogramy proszkowe XRD ZnDOP: ZnDMP, ZnDEHP, ZnDPP oraz ZnDPB. Na rysunku przedstawiono dane dotyczące położenia sygnału o najwyższej intensywności oraz związanej z nim odległości międzyplaszczyznowej d_{001} .

Fig.4. Powder XRD diffractograms of ZnDOP: (a) ZnDMP, (b) ZnDEHP, (c) ZnDPP and d) ZnDPB. Data on the position of the highest intensity signal together with corresponding interplanar distance are presented.



Rys.5. Struktura ZnDOP: (A) widok pojedynczego łańcucha ZnDOP w płaszczyźnie prostącej do osi kubicznej kryystalograficznej oraz (B) upakowanie łańcuchów w krysztale ZnDOP. Atomy węgla i wodoru zostały pominięte.

Fig.5. ZnDOP structure: (A) view of a single ZnDOP chain in projection onto a plane perpendicular to c axis of the crystallographic cell and (B) packing of ZnDOP chains in a single crystallite. Carbon and hydrogen atoms were omitted.

Morfologia ZnDOP Morphology of ZnDOP



Rys.6. Zdjęcia SEM ZnDOP

Fig.6. SEM images of ZnDOP

Optymalizacja właściwości mechanicznych kompozytów żywic epoksydowych Optimization of mechanical properties of epoxy resin composites

Lp.	Żywica epoksydowa	Utwardzacz Z1*	g/TPP ^b	DPPA ^c	Analizowane właściwości usięciowanych kompozytów ^d
1	Epidian 601	12 phr	—	0,5 phr	UTS, mod